

**РАСЧЕТ АНИЗОТРОПИИ СОПРОТИВЛЕНИЯ  
С УЧЕТОМ КОНЦОВ ОБРАЗЦА  
С ПОМОЩЬЮ КОНФОРМНОГО ПРЕОБРАЗОВАНИЯ**

Л. И. Буравов

Так называемый метод Монтгомери [1] определения электросопротивления анизотропных проводников позволяет вычислять удельные сопротивления  $\rho_x$  и  $\rho_y$ , если известны два напряжения  $U_x$  и  $U_y$ , возникающие на двух парах углов одной из граней прямоугольного проводящего параллелепипеда при пропускании тока через другую пару точек на углах той же грани. Этот способ основан на решении [2] соответствующей электростатической задачи для изотропного проводящего бруска методом изображений. Для измерений по схеме [1, 2] 4 точечных контакта должны располагаться на углах одной из граней прямоугольного параллелепипеда.

С учетом подхода, предложенного в [1], в настоящей работе получены расчетные формулы для определения величин  $\rho_x$  и  $\rho_y$  для схемы монтажа контактов, отличающейся от изученной в [1, 2]. Отличие схемы заключается в том, что, во-первых, контакты располагаются на некотором расстоянии  $a_i$  ( $i=1, 2, 3, 4$ ) от концов прямоугольного бруска, во-вторых, контакты не являются точечными, а имеют длину  $l_z$ , равную размеру образца по оси  $z$  (рис. 1, б). В этой схеме две пары контактов располагаются на двух противоположных гранях образца. Предполагается, что оси бруска совпадают с главными осями тензора проводимости. При таком расположении контактов при пропускании тока через контакты 2, 3 или 3, 4 распределение потенциала в образце не зависит от координаты  $z$ , поэтому при анализе задачи в настоящей работе был использован метод конформного преобразования.

В работе [1] было показано, что при решении этой задачи удобно перейти к эквивалентной изотропной модели, для которой сопротивление элемента объема  $dxdydz$  в направлении осей  $x$ ,  $y$  или  $z$  равно сопротивлению элемента объема  $dx'dy'dz'$  в анизотропной среде в соответствующем направлении. Для данной задачи это условие приводит к равенствам:

$$\rho_x = \rho \frac{l_x l'_y}{l_y l'_x}, \quad (1)$$

$$\rho_y = \rho \frac{l_y l'_x}{l_x l'_y}, \quad (2)$$

где  $l'_x$  и  $l'_y$  — размеры анизотропного образца в направлении  $x$  и  $y$ ;  $l_x$ ,  $l_y$  и  $\rho$  — размеры и удельное сопротивление для эквивалентной изотропной модели.

Чтобы вычислять удельные сопротивления и анизотропию сопротивления реального образца, важно иметь аналитические выражения для величин напряжений  $U_x$  между контактами 2 и 3 при прохождении тока через контакты 1 и 4 и  $U_y$  между контактами 3 и 4 при прохождении тока через контакты 1 и 2, а также для отношения  $U_y/U_x$  в эквивалентной изотропной модели.

Для нахождения этих выражений в работе было использовано конформное преобразование прямоугольника в полуплоскость с помощью эллиптической функции  $sn(t)$  [3-5] (в данном случае таким прямоугольником является любое сечение бруска, перпендикулярное проводам 1, 2, 3 и 4)

$$w = \xi + i\eta = sn\left(\frac{2K}{l_x}x + i\frac{K'}{l_y}y\right), \quad (3)$$

где  $K = \pi/2(1+2q+2q^4+2q^8+\dots)$ ,  $K' = 2K l_y/l_x$ ,  $q = \exp(-2\pi l_y/l_x)$ , начало координат в плоскости  $(x, y)$  взято на середине одного из ребер бруска (рис. 1).

Как известно [3-5], при таком преобразовании граница прямоугольника отображается на ось  $\xi$ , внутренняя часть прямоугольника — на верхнюю полуплоскость  $(\xi, \eta)$ , точки 1, 2, 3 и 4, соответствующие положению контактов, переходят на ось  $\xi$  в точки

$$\begin{aligned} \xi_1 &= sn[K(1-2\Delta_1)], \quad \xi_2 = sn[K(1-2\Delta_2) + iK'] = k^{-1}sn^{-1}[K(1-2\Delta_2)], \\ \xi_3 &= -k^{-1}sn^{-1}[K(1-2\Delta_3)], \quad \xi_4 = -sn[K(1-2\Delta_4)], \end{aligned} \quad (4)$$

где  $\Delta_i = a_i/l_x < 0.5$ ,  $k = 4\sqrt{q}(1+q^2+q^6+q^{12}+\dots)^2/(1+2q+2q^4+2q^8+\dots)^2$ , причем расположение их следующее:  $\xi_3 < \xi_4 < \xi_1 < \xi_2$ .

Если ток  $J$  протекает через два параллельных провода, потенциал которых предполагается практически постоянным по всей длине  $l_z$ , то распределение потенциала в верхней полуплоскости  $(\xi, \eta)$  описывается по аналогии с распределением потенциала для двух параллельных заряженных проводов [6] в виде

$$\varphi(\xi, \eta) = A \ln(r_1/r_2), \quad (5)$$

где  $r_1$  и  $r_2$  — расстояния в этой полуплоскости от точки наблюдения до центров проводов; константа  $A$  может быть найдена из уравнения  $J = \int j ds$ , где  $j$  — плотность тока в среде у поверхности провода;  $ds = \pi r_0 dl_z$  — элемент поверхности провода;  $r_0$  — радиус провода.

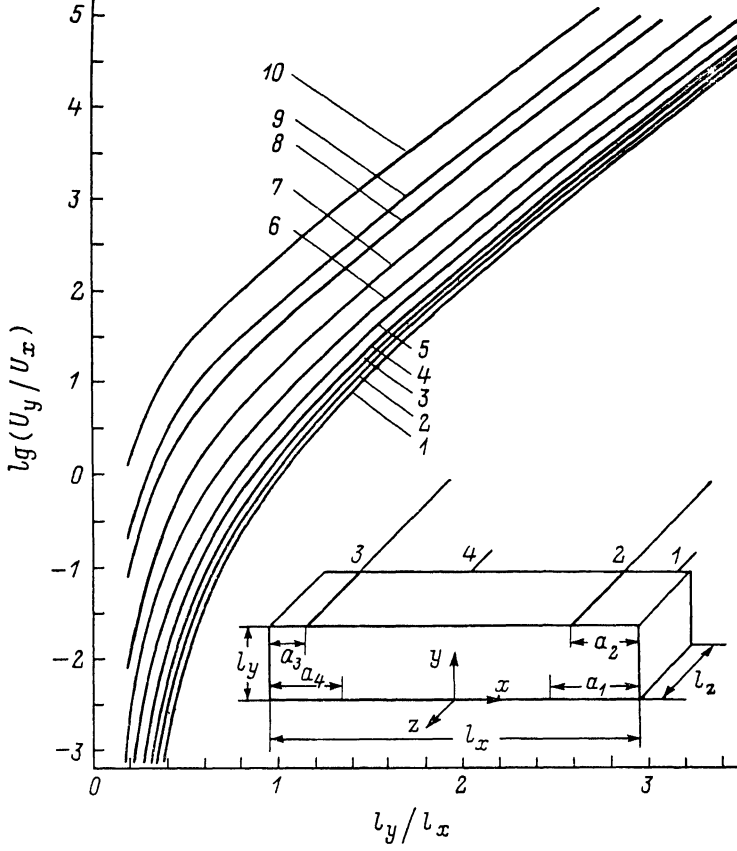


Рис. 1. Зависимость  $\lg(U_y/U_x)$  от  $l_y/l_x$  с параметром  $\Delta$  (а) и схема расположения контактов на образце (б).

$\Delta$ : 1 — 0, 2 — 0.10, 3 — 0.15, 4 — 0.2, 5 — 0.25, 6 — 0.3, 7 — 0.35, 8 — 0.4, 9 — 0.42, 10 — 0.45.

Подставляя в интеграл значение  $j = -1/\rho (\partial \varphi / \partial r_1)_{r_1=r_0} \approx -A/\rho r_0$ , находим  $A = -(J \rho / \pi l_z)$  в предположении, что  $r_0 \ll l_x, l_y$ .

Используя выражение (5), получим

$$U = \varphi_{(2)} - \varphi_{(3)} = A \ln \frac{(\xi_2 - \xi_1)(\xi_4 - \xi_3)}{(\xi_2 - \xi_4)(\xi_1 - \xi_3)} \quad (6)$$

(при прохождении тока  $J$  через точки 1 и 4) и

$$U_y = \varphi_{(3)} - \varphi_{(4)} = A \ln \frac{(\xi_2 - \xi_3)(\xi_1 - \xi_4)}{(\xi_1 - \xi_3)(\xi_2 - \xi_4)} \quad (7)$$

(при прохождении тока  $J$  через точки 1 и 2).

Аналогично [1] при делении  $U_y$  на  $U_x$  получается уравнение, в которое не входит величина  $\rho$

$$U_y/U_x = \Phi(\xi_1, \xi_2, \xi_3, \xi_4), \quad (8)$$

где  $\Phi$  — функция указанных аргументов.

Задавая величины  $U_x$ ,  $U_y$  и  $\Delta_i$  из опыта для анизотропного образца и решая уравнение (8) относительно величины  $l_y/l_x$  с помощью ЭВМ, можно найти значение  $l_y/l_x$  для эквивалентной изотропной модели, после чего анизотропия сопротивления определяется согласно [1]

$$\rho_y/\rho_x = \left( \frac{l_y l'_x}{l_x l'_y} \right)^2. \quad (9)$$

При использовании уравнений (6) и (7) с учетом (1) и (2) получаются расчетные формулы для  $\rho_x$  и  $\rho_y$  анизотропного образца с произвольными  $\Delta_i$ :

$$\rho_x = -\frac{U_x}{J} \pi l_z \left[ \ln \frac{(\xi_2 - \xi_1)(\xi_4 - \xi_3)}{(\xi_1 - \xi_3)(\xi_2 - \xi_4)} \right]^{-1} \frac{l_x l'_y}{l_y l'_x}, \quad (10)$$

$$\rho_y = -\frac{U_y}{J} \pi l_z \left[ \ln \frac{(\xi_2 - \xi_3)(\xi_1 - \xi_4)}{(\xi_1 - \xi_3)(\xi_2 - \xi_4)} \right]^{-1} \frac{l_y l'_x}{l_x l'_y}. \quad (11)$$

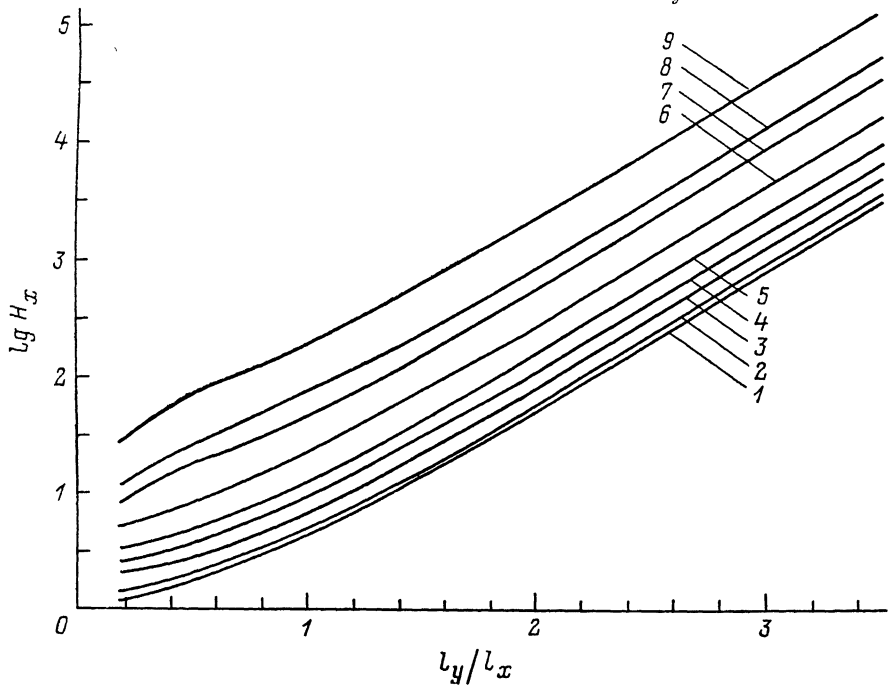


Рис. 2. Зависимость  $\lg H_x$  от  $l_y/l_x$  с параметром  $\Delta$ .

$\Delta$ : 1 — 0, 2 — 0.1, 3 — 0.2, 4 — 0.25, 5 — 0.3, 6 — 0.35, 7 — 0.4, 8 — 0.42, 9 — 0.45.]

Для случая, когда все  $\Delta_i$  равны ( $\Delta_i = \Delta$ ), формулы (8), (10) и (11) упрощаются и приобретают вид

$$U_y/U_x = \ln \frac{4z}{(1+z)^2} / 2 \ln \frac{1-z}{1+z}, \quad (12)$$

$$\rho_x = -\frac{U_x}{J} \frac{\pi l_z}{2} \left[ \ln \frac{1-z}{1+z} \right]^{-1} \frac{l_x l'_y}{l_y l'_x} = H_x \frac{U_x}{J} \frac{l'_y}{l'_x} l_z, \quad (13)$$

$$\rho_y = -\frac{U_y}{J} \pi l_z \left[ \ln \frac{4z}{(1+z)^2} \right]^{-1} \frac{l_y l'_x}{l_x l'_y} = H_y \frac{U_y}{J} \frac{l'_x}{l'_y} l_z, \quad (14)$$

где

$$z = k \sin^2 [K(1-2\Delta)], \quad H_x = -\frac{\pi}{2} \left[ \ln \frac{1-z}{1+z} \right]^{-1} \frac{l_x}{l_y},$$

$$H_y = -\pi \left[ \ln \frac{4z}{(1+z)^2} \right]^{-1} \frac{l_y}{l_x}.$$

На рис. 1—3 представлено изменение величин соответственно  $\lg(U_y/U_x)$ ,  $\lg H_x$  и  $\lg H_y$  как функций отношения  $l_y/l_x = (l'_y/l'_x) \sqrt{\rho_y/\rho_x}$  в зависимости от параметра  $\Delta$ . Гра-

фики были рассчитаны с использованием таблиц для эллиптического синуса [7] при  $l_y/l_x \leq 0.8$ , при  $l_y/l_x \geq 0.8$  использовалось приближение

$$\operatorname{sn} [K(1-2\Delta)] \simeq \sin \left[ \frac{\pi}{2} (1-2\Delta) \right]^{[3, 4]}.$$

Как видно из графиков, функции  $U_y/U_x$  и  $H_x$  увеличиваются с увеличением  $\Delta$ , функция  $H_y$ , наоборот, уменьшается. Следует отметить, что значение  $H_y$  при  $l_y/l_x \geq 0.44$  для  $\Delta=0.42$  почти постоянно и близко к 1.

При практическом применении результатов статьи для определения удельных сопротивлений следует по аналогии с [1] сначала решить уравнение (12) относительно  $x$  и  $(l_y/l_x)$ , задав из опыта величины  $U_x$ ,  $U_y$  и  $\Delta$ , численным способом (например, методом итераций). Найденные значения  $x$  и  $l_y/l_x$  затем подставляются в формулы (13) и (14) для нахождения величин  $\rho_x$  и  $\rho_y$ .

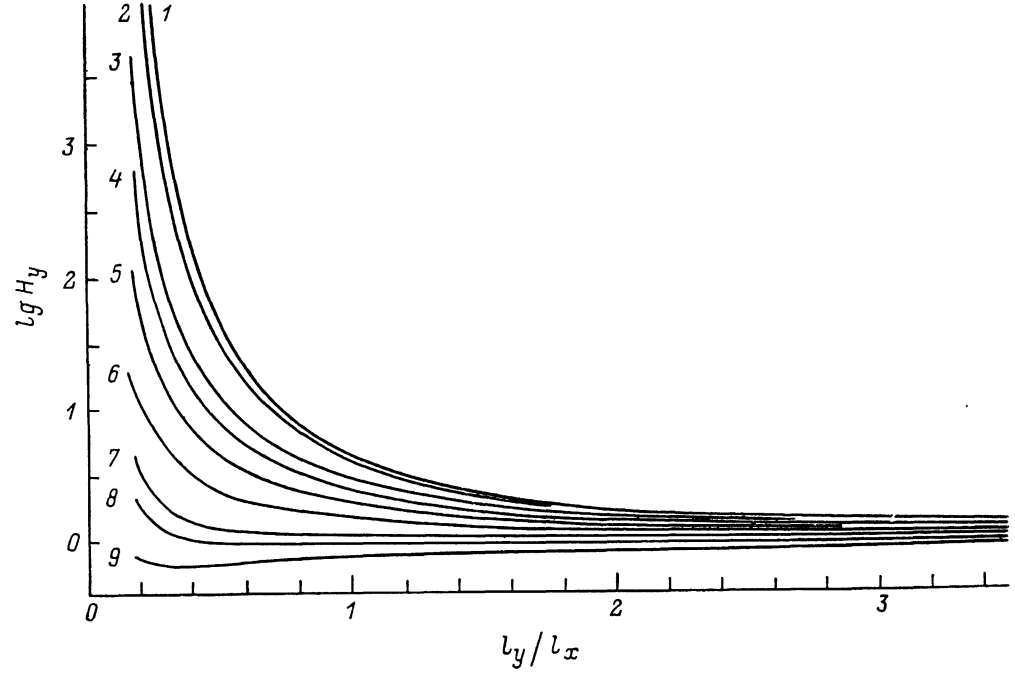


Рис. 3. Зависимость  $\lg H_y$  от  $l_y/l_x$  с параметром  $\Delta$ .

1—9 — то же, что и на рис. 2.

Если положить  $\Delta=0$ , то возможно провести сравнение полученных результатов и найденных в работе [2]. При сравнении заранее следует ожидать совпадения результатов только в том случае, если используются формулы [2] для тонких образцов (при  $l_z \rightarrow 0$ ), в противном случае результаты [2] зависят от координаты  $z$ , что заведомо приводит к некоторому ухудшению соответствия. Результаты [2] для тонких пластин можно представить в следующем виде

$$\rho_x = H_{0x} U_x l_z / J, \quad \rho_y = H_{0y} U_y l_z / J,$$

где

$$H_{0x} = \frac{\pi}{4} \left[ \ln \frac{1 + 2q_1 + 2q_1^4 + 2q_1^9 + \dots}{1 - 2q_1 + 2q_1^4 - 2q_1^9 + \dots} \right]^{-1} \equiv f(q_1), \quad H_{0y} = f(q_2),$$

$$q_1 = \exp [-\pi l_y/l_x], \quad q_2 = \exp [-\pi l_x/l_y], \quad \rho_x = \rho_y,$$

поскольку рассматривается изотропный случай.

Аналогичные коэффициенты пропорциональности для данной работы, как видно из (13), (14), равны (с учетом  $\operatorname{sn} K=1$ )

$$h_x = -\frac{\pi}{2} \left[ \ln \frac{1-k}{1+k} \right]^{-1}, \quad h_y = -\pi \left[ \ln \frac{4k}{(1+k)^2} \right]^{-1}. \quad (15)$$

Численный расчет показывает полное совпадение коэффициентов  $H_{0x}$  и  $h_x$ , а также  $H_{0y}$  и  $h_y$ , если при вычислениях суммируется достаточно большое число членов рядов.

Отметим ограничения на геометрические размеры. Во-первых, при выводе использовалось условие  $r_0 \ll l_x, l_y$ ; во-вторых, для того чтобы потенциал токового провода оставался практически постоянным на длине  $l_z$ , сопротивление контактирующего провода на этой длине должно быть значительно меньше переходного сопротивления  $R_{\text{пп}}$  между проводом и исследуемым материалом; это накладывает ограничение на размер  $l_z$  для бруска  $l_z \ll R_{\text{пп}} \pi r_0^2 / \rho_{\text{п}}$ , где  $\rho_{\text{п}}$  — удельное сопротивление провода.

### Литература

- [1] Montgomery H. C. // J. Appl. Phys. 1971. Vol. 42. N 7. P. 2971—2974.
- [2] Logan B. F., Rice S. O., Wick R. F. // J. Appl. Phys. 1971. Vol. 42. N 7. P. 2975—2978.
- [3] Журавский А. М. Справ. по эллиптическим функциям. М.; Л.: Изд-во АН СССР, 1941. 235 с.
- [4] Ахиезер Н. И. Элементы теории эллиптических функций. М.: Наука, 1970. 304 с.
- [5] Лаврентьев М. А., Шабат Б. В. Методы теории функций комплексного переменного. М., 1958. 678 с.
- [6] Гольдштейн Л. Д., Зернов Н. В. Электромагнитные поля и волны. М.: Сов. радио, 1956. 639 с.
- [7] Шуллер М., Гебелейн Х. Таблицы эллиптических функций. М., 1961. 250 с.

Отделение института  
химической физики АН СССР  
Черноголовка Московской обл.

Поступило в Редакцию  
11 февраля 1987 г.  
В окончательной редакции  
5 апреля 1988 г.

07; 08

Журнал технической физики, т. 59, в. 4, 1989

### ДИФРАКЦИЯ СВЕТА НА АКУСТИЧЕСКИХ ВОЛНАХ В ГАЗЕ

В. И. Загорельский, Д. О. Лапотко, О. Г. Мартыненко, Г. М. Пухлов

Результативное использование мощного лазерного излучения в различных устройствах и технологических процессах возможно при условии эффективного управления излучением (сканирования, модуляции, фазовой коррекции пучка) и чаще всего в режиме реального

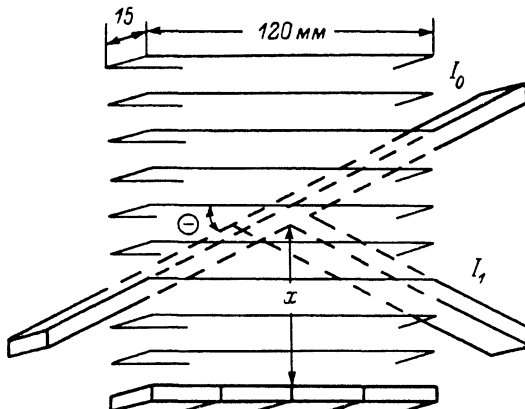


Рис. 1. Схема осуществления дифракции.

времени. Для потоков малой интенсивности такие задачи достаточно корректно решаются методами жидкостной и твердотельной акустооптики, которые позволяют осуществлять управляемое воздействие на интенсивность, фазу и направление распространения дифрагирующего света [1, 2]. В случае мощного излучения, воздействие которого на жидкости и твердые тела приводит к их тепловому разрушению, принципы акустооптики можно при-